

## اثر پیشگیرانه تمرین هوایی اجباری، داوطلبانه و مکمل نانوکورکومین بر فیبروز آئورت ناشی از القای مزمن آدریامایسین در موش‌های صحرایی سالمند

فاطمه شریفی<sup>۱</sup>، ولی الله دیدی روشن<sup>۲</sup>

- ۱- دکتری فیزیولوژی ورزشی، دانشکده علوم ورزشی، دانشگاه مازندران، بابلسر، ایران  
۲- نویسنده مسئول: استاد گروه فیزیولوژی ورزشی، دانشکده علوم ورزشی، دانشگاه مازندران و قطب علمی پایش سلامت ورزشی و پویش قهرمانی، بابلسر، ایران  
پست الکترونیکی: v.dabidi@umz.ac.ir

تاریخ پذیرش: ۱۴۰۲/۵/۳۰

تاریخ دریافت: ۱۴۰۲/۴/۲۰

### چکیده

**سابقه و هدف:** با وجود اثربخشی آدریامایسین در درمان انواع مختلف سرطان، عوارض قلبی-عروقی آن بویژه در سالمندان، چالش برانگیز شده است. هدف این مطالعه بررسی اثر پیشگیرانه تمرین هوایی اجباری، داوطلبانه و مکمل نانوکورکومین بر فیبروز آئورت ناشی از القای مزمن آدریامایسین در موش‌های صحرایی سالمند بود.

**مواد و روش‌ها:** هفتاد سر موش صحرایی بالغ نر نژاد ویستار ۱۲ هفتاهی به طور تصادفی به ۱۰ گروه تجربی و کنترل تقسیم شدند. سالمندسازی به وسیله تزریق دی‌گالاکتور (۱۰۰ میلی‌گرم/کیلوگرم) ایجاد شد. گروه‌های تمرین هوایی اجباری پنج جلسه در هفت‌هه به مدت شش هفت‌هه روی نوارگردان ۵۴-۲۵ دقیقه/روز، شبیه ۰٪ سرعت ۱۵-۲۰ متر/دقیقه) دویتدند. گروه‌های تمرین داوطلبانه شش هفت‌هه به چرخ‌وار اختیاری دسترسی داشتند. دو هفت‌هه آخر، ۱۵ روز تزریق زیرصفاقی (۱۰ میلی‌گرم/کیلوگرم/روز) آدریامایسین/سالین و ۱۴ روز القای نانوکورکومین (۱۰ میلی‌گرم/کیلوگرم/روز) با گاواز اجرا شد. چهل و هشت ساعت پس از آخرین جلسه، موش‌ها قربانی و آئورت صعودی برداشته شد. برای تجزیه و تحلیل بافت‌شناسی، رنگ‌آمیزی تریکروم مالوری انجام شد. ضخامت منطقه کلاژن و الاستین اندازه‌گیری شد.

**یافه‌ها:** تفاوت معنی‌داری در ضخامت الاستین بافت آئورت بین گروه‌های مختلف وجود نداشت ( $p=0.197$ ). ضخامت کلاژن به طور معنی‌داری در اثر تمرین داوطلبانه+آدریامایسین ( $p=0.003$ )، تمرین اجباری+آدریامایسین ( $p=0.001$ )، نانوکورکومین+آدریامایسین ( $p<0.001$ )، تمرین داوطلبانه+نانوکورکومین+آدریامایسین ( $p=0.001$ ) و تمرین اجباری+نانوکورکومین+آدریامایسین ( $p=0.001$ ) کمتر از گروه آدریامایسین بود. همچنین نسبت ضخامت کلاژن/الاستین در اثر تمرین داوطلبانه+آدریامایسین ( $p=0.003$ )، تمرین اجباری+آدریامایسین ( $p=0.001$ )، نانوکورکومین+آدریامایسین ( $p=0.002$ )، تمرین داوطلبانه+نانوکورکومین+آدریامایسین ( $p=0.015$ ) و تمرین اجباری+نانوکورکومین+آدریامایسین ( $p=0.001$ ) کمتر از گروه آدریامایسین بود.

**نتیجه‌گیری:** تمام رویکردهای به کار رفته در پژوهش حاضر ممکن است یک درمان با ارزش برای خنثی کردن افزایش فیبروز آئورت ناشی از آدریامایسین باشند که بخشی از آن بخاطر اثرات مثبت تمرین هوایی و همچنین تأثیر مفید نانوکورکومین بر سیستم قلبی-عروقی است.

**وازگان کلیدی:** تمرین هوایی، آدریامایسین، نانوکورکومین، ناحیه الاستین و کلاژن، آئورت

### ۴ مقدمه

برخی از این اهداف در سلول‌های غیرهندف نیز تحت تأثیر قرار می‌گیرند (۳)، بنابراین عوارض جانبی سمی آن در بافت‌های سالم مانند تصلب عروقی (۴) و سمیت قلبی استفاده از آن را محدود کرده است (۵-۸). اختلال عملکرد عروقی، که توسط شیمی‌درمانی آنتراسایکلین ایجاد می‌شود، مقدمه‌ای برای ایجاد

آدریامایسین (Adriamycin, ADR) یکی از قوی‌ترین داروهای آنتراسایکلین است (۱) که به طور گسترده برای درمان انواع تومور و بدخیمی‌های سیستمیک مورد استفاده قرار می‌گیرد (۲). مکانیزم عمل ADR در سلول‌های تومور شامل تعامل با هسته، میتوکندری و غشاها زیستی است، اگرچه

(۱۸). بنابراین، در این مطالعه دویden داوطلبانه برای جداسازی اثرات فعالیت بدنی معمول از استرس اضافی مرتبط با ورزش اجباری به کار گرفته شد.

استفاده از ترکیبات گیاهی و طبیعی یا مشتقات آنها برای کاهش اثرات نامطلوب ناشی از عوامل رادیوتراپی/شیمی درمانی و/یا افزایش حساسیت سلول‌های تومور به این عوامل در چند دهه گذشته توجه زیادی را به خود جلب کرده است (۵). کورکومین جزء فعال اصلی زردچوبه به عنوان محافظت کننده قلبی-عروقی شناخته شده است، خواص ضدالتهابی و آنتی‌اکسیدانی کورکومین می‌تواند به طور بالقوه عملکرد اندوتیال را بهبود بخشد (۶). با وجود این، استفاده بالینی از آن به‌واسطه جذب ضعیف، متabolیسم سریع، نیمه عمر بیولوژیکی کوتاه و فراهمی زیستی خوارکی ناچیز (تنها ۱٪ در موش‌ها، در انسان ضعیفتر) محدود شده است، به طوریکه سطح سرمی غیرقابل کشف و یا بسیار کم از کورکومین ( $0.005 \pm 0.006$  میکروگرم/میلی لیتر/ ساعت) در انسان پس از یک دوز خوارکی ۲ گرم/کیلوگرم مشاهده شد (۷). بنابراین، دوزهای بسیار بالا ( $> 3/6$  گرم/روز در انسان) برای تولید هر اثر دارویی مورد نیاز است. چندین روش برای افزایش غلظت آن از جمله مصرف دوزهای زیاد کورکومین تا ۸ گرم در روز، مصرف مکرر به‌جای تک‌دوز، مصرف همراه با افزایش دهنده جذب خوارکی و فرمولاسیون نوین دارو مانند تهیه لیپوزوم و نانوذره استفاده گردیده است (۸). استفاده از فرمول نانوکورکومین می‌تواند بر فراهمی زیستی ضعیف کورکومین غلبه کند و خواص فیزیکو‌شیمیایی آن را با توجه به اثربخشی آن افزایش دهد (۹). مصرف همزمان نانوکورکومین سمیت قلبی ناشی از آدریاماکسین را از طریق مکانیسم‌های مختلف از جمله اثرات آنتی‌اکسیدانی، ضدالتهابی و ضدآپوپتوز کاهش می‌دهد. همچنین اثر محافظت قلبی فرمولاسیون نانوکورکومین در برابر سمیت قلبی ناشی از ADR بیشتر از کورکومین آزاد بود (۱۰). این در حالی است که در مورد اثر بخشی نانوکورکومین به‌ویژه همراه تمرین هوازی بر فیبروز آئورت ناشی از ADR تاکنون پژوهشی صورت نگرفته است.

فرض بر آن است که اثربخشی رویکردهای غیردارویی ترکیبی، به‌ویژه تمرینات داوطلبانه به‌همراه مکمل نانوکورکومین به‌دلیل هم‌افزایی نقش ضداکسایشی در مهار تغییرات ناشی از القای ADR در ایجاد فیبروز آئورت بهتر از اثرات مجازی هر یک از این رویکردها باشد. لذا با توجه به اینکه پیشگیری هرچه بیشتر از سمیت عروقی ناشی از درمان امیدبخش ADR در بیماران سلطانی بسیار حائز اهمیت است، در پژوهش حاضر به ارزیابی اثرات پیشگیرانه تمرینات هوازی اجباری، داوطلبانه،

و توسعه‌ی بیماری‌های قلبی-عروقی می‌باشد (۱۱). در بیماران تحت درمان با آنتراسایکلین‌ها، سختی سرخرگ افزایش می‌یابد (۱۲). علی‌رغم این واقعیت که بافت عروقی اولین بافتی است که پس از تزریق تحت تأثیر قرار می‌گیرد (۱۲، ۱۱، ۴)، تحقیقات بروی عروق به‌ویژه آئورت به‌وسیله ADR کمتر مورد توجه قرار گرفته است.

عملکرد مناسب عروق به مشارکت سلول‌ها در دیواره آن، از جمله فیبروبلاست‌ها، سلول‌های عضله صاف و سلول‌های اندوتیال بستگی دارد. آنها مولکول‌های سیگنالی و پروتئین‌های داربست مانند کلازن و الاستین را تولید می‌کنند (۱۳). لایه‌های دیواره آئورت حاوی فیبرهای کلازن، سلول‌های عضله صاف و الیاف الاستیک است. الاستین، بین سلول‌های عضلانی صاف قرار دارد و الاستیسیته را فراهم می‌کنند. کلازن نیز سلول‌های عضلانی صاف و لایه الاستیک را احاطه کرده است؛ در سفت شدن دیواره عمل می‌کند (۱۴). افزایش نسبت کلازن/الاستین، سخت شدن دیواره سرخرگی را مشخص می‌کند که منجر به ازدست دادن انعطاف‌پذیری دیواره عروق، ترویج فیبروز قلب و نارسایی قلب در سالمندان می‌شود. از طرفی پیری همراه با ازدست دادن سلول‌های عضلانی صاف، افزایش کلازن و کاهش الاستین در دیواره آئورت است (۱۵). از این‌رو با توجه به اثرات پیری بر ساختار عروق، در مطالعه حاضر برای اولین بار مدل سالمندی مورد بررسی قرار گرفت.

پیامدهای قرار گرفتن در معرض ADR به عنوان یک نگرانی عمده مطرح می‌شود زیرا جمعیت بازماندگان سرطان همچنان در حال افزایش است. بنابراین، جستجو برای درمان‌های محافظت‌کننده از سمیت قلبی-عروقی بسیار مورد توجه است. تمرین ورزشی یک ابزار قدرتمند برای جلوگیری از علائم و بیماری‌های پیری از جمله بیماری‌های قلبی-عروقی و سرطان است (۱۶). انجام تمرینات ورزشی قبل از تشخیص سرطان با ۲۰ تا ۳۷ درصد کاهش خطر عوارض قلبی عروقی در بیماران مبتلا به سرطان اولیه پستان همراه است (۱۷، ۱). در مطالعه‌ای Gibson و همکاران (۱۳) نشان دادند اختلال عروقی ناشی از ADR به‌وسیله ورزش پیش‌درمان کاهش می‌یابد (۱۲)؛ با وجود اینکه شواهد نشان می‌دهند فعالیت بدنی منظم در بیماران سلطانی باعث بهبود نتایج انکولوژیک و قلبی-عروقی می‌شود، نوع برنامه تمرینی بیوژه در عروق بررسی نشده است. اکثر مطالعاتی که اثرات محافظت قلبی برنامه‌های تمرینی را بررسی کرده‌اند، از شنا یا دویدن اجباری استفاده کرده‌اند. اگرچه این پروتکل‌ها، کنترل دقیق مدت و شدت تمرین را می‌سرمی‌سازند، حیوانات استرس سیستمیک زیادی را تجربه می‌کنند که ممکن است پیامدهای فیزیولوژیکی گستردگی داشته باشد

حیوانات به طور تصادفی به ۱۰ گروه تیمار و کنترل (در هر گروه ۷ سر موش، سالین (S)، آدريامايسين (AD)، تمرين داوطلبانه+Sالين (VTS)، تمرين داوطلبانه+آدريامايسين (VTAD)، تمرين اجباري+Sالين (FTS)، تمرين اجباري+آدريامايسين (FTAD)، نانوکورکومين+Sالين (NCS)، نانوکورکومين+آدريامايسين (NCAD)، تمرين داوطلبانه+Nانوکورکومين+آدريامايسين (VTNCAD) و تمرين اجباري+Nانوکورکومين+آدريامايسين (FTNCAD) تقسيم شدند.

### برنامه تمرين هوازی اجباری و داوطلبانه

در هفته چهارم به منظور آشنایی آزمودنی‌ها با نحوه انجام برنامه تمرين هوازی، پنج جلسه راه رفتن و دویدن روی نوار گردان به مدت ۱۰\_۵ دقیقه با سرعت ۵\_۸ متر در دقیقه در نظر گرفته شد. از هفته پنجم، برنامه تمرين هوازی اجباری روی نوار گردان بدون شب ویژه جوندگان با مدت فراینده و با رعایت اصل اضافه بار از ۲۵ به ۵۴ دقیقه و سرعت ۱۵ به ۲۰ متر در دقیقه، ۵ جلسه در هفته و به مدت شش هفته اجرا شد (جدول ۱). گرم کردن و سرد کردن به روش استاندارد انجام شد (۲۴، ۲۵). همچنین از هفته پنجم، آزمودنی‌ها سه گروه تمرين داوطلبانه، شش هفته به صورت انفرادی در قفس‌های مجهز به چرخ دوران (ساخت دانشکده تربیت بدنی دانشگاه مازندران) نگهداری شدند. مسافت طی شده توسط هر یک از آزمودنی‌ها در رأس ساعت مقرر در عصر هر روز توسط محقق یادداشت شد (۲۶).

نانوکورکومین و ترکیب آنها بر فیبروز آئورت ناشی از القای مزمن آدريامايسين در موش‌های صحرایی مدل سالمندی پرداخته شده است.

## • مواد و روش‌ها

### محیط تجربی و ملاحظات اخلاقی

جامعه‌ی آماری پژوهش تجربی حاضر شامل موش‌های صحرایی نر نژاد ویستار، با سن ۱۲ هفته و میانگین وزنی  $272 \pm 32$  گرم مرکز انسنتیتو پاستور آمل بودند که ۷۰ سر از آنها خریداری شد. حیوانات به صورت گروههای سه/چهار سر موش در قفس‌های پلی کربنات شفاف (ساخت انسنتیتو پاستور ایران) در محیطی با دمای  $20 - 24$  درجه سانتی‌گراد، رطوبت ۴۵\_۵۵ درصد و چرخه تاریکی به روشنایی ۱۲:۱۲ ساعته نگهداری و آب و غذای ساخت شرکت بهپرور به صورت پلت به صورت آزاد در دسترسیان قرار گرفت. وزن آزمودنی‌ها در ابتدای پژوهش و هر هفته به وسیله ترازوی دیجیتالی با حساسیت  $0.001 / 0.001$  گرم (ساخت کمپانی Sartarias آلمان) اندازه‌گیری می‌شد. همه مراحل راهنمای مراقبت و استفاده از حیوانات آزمایشگاهی توسط کمیته اخلاق تحقیقات تجربی (IR.UMZ.REC.1402.021) تأیید شد.

### مدل‌سازی سالمندی و دسته‌بندی آزمودنی‌ها

پس از یک هفته آشنایی با محیط جدید، مدل‌سازی سالمندی به مدت نه هفته و از طریق تزریق درون صفاقی روزانه ۱۰۰ میلی‌گرم/کیلوگرم وزن بدن، دی‌گالاکتوز (ساخت شرکت Sigma آلمان) محلول در نرمال سالین  $0.9 / 0.9$  درصد انجام گرفت (۲۲، ۲۳). هفته چهارم پس از شروع مدل‌سازی سالمندی،

جدول ۱. جزئیات ۶ هفته برنامه تمرين نوار گردان هوازی اجباری

جلسات تمرين	متغيرهای تمرين	هفته اول	هفته دوم	هفته سوم	هفته چهارم	هفته پنجم	هفته ششم
اول	سرعت*	۱۵	۱۶	۱۷	۱۸	۱۹	۲۰
	مدت**	۲۵	۳۰	۳۵	۴۰	۴۵	۵۰
دوم	سرعت	۱۵	۱۶	۱۷	۱۸	۱۹	۲۰
	مدت	۲۶	۳۱	۳۶	۴۱	۴۶	۵۱
سوم	سرعت	۱۵	۱۶	۱۷	۱۸	۱۹	۲۰
	مدت	۲۷	۳۲	۳۷	۴۲	۴۷	۵۲
چهارم	سرعت	۱۵	۱۶	۱۷	۱۸	۱۹	۲۰
	مدت	۲۸	۳۳	۳۸	۴۳	۴۸	۵۳
پنجم	سرعت	۱۵	۱۶	۱۷	۱۸	۱۹	۲۰
	مدت	۲۹	۳۴	۳۹	۴۴	۴۹	۵۴

\*سرعت بر حسب متر بر دقیقه؛ \*\* مدت بر حسب دقیقه.

آب جاری شستشو شد تا زردی بوآن گرفته شود و بعد با آب قطر شسته شدند. ۱۵ دقیقه محلول هماتوکسیلین واگرت روی بافت ریخته و مجدد با آب جاری و بعد با آب قطر شستشو شد. لامها را ۲ دقیقه در ببریج اسکارلت قرار داده و پس از شستشو با آب قطر، حدود ۱۰\_۱۵ دقیقه محلول اسیدفسوتونگستیک و اسیدفسفومولبیدیک را روی لامها ریخته تا بعد از آن با آب شستشو داده و سپس ۲۰\_۲۵ دقیقه محلول آنلین بلو روی بافت قرار گرفت. لامها پس از شستشو با آب، ۳\_۵ دقیقه با اسیداستیک ۱ درصد شسته شدند. در انتهای بافت به ترتیب بالکل ۷۰، ۸۰، ۹۰ و ۱۰۰ درصد هر کدام ۱\_۲ دقیقه آبگیری شد. در مرحله شفافسازی، لامها طی دو مرحله ۵ دقیقه‌ای در گزیل قرار داده شدند. در مرحله مانته کردن، بر روی لام مورد نظر چسب انتلالان ریخته شد و با آغشته کردن لام با گزیل با زاویه ۴۵ درجه بر روی لام قرار گرفت و در دمای محیط قرار گرفت.

#### بررسی لامها توسط میکروسکوپ نوری

از هر منطقه در هر لام بهصورت تصادفی توسط میکروسکوپ نوری با لنز ۴۰ عکس برداری شد. عکس‌ها توسط نرم‌افزار J Image مورد تجزیه تحلیل قرار گرفت. به این صورت که پس از تعریف خطکش دیجیتال ضخامت لایه توئیکامدیا به عنوان منطقه الاستین اندازه‌گیری شد. نسبت کلراژن/الاستین با تقسیم منطقه کلراژن بر منطقه الاستین محاسبه شد و برای نشان دادن فیبروز ارزیابی شد (۱۵).

#### روش تجزیه و تحلیل داده‌ها

نظر به طبیعی بودن توزیع داده‌ها با آزمون شاپیروویلک، از آزمون‌های آماری پارامتریک آنالیز واریانس دو راهه چندمتغیره و آزمون تعقیبی توکی استفاده شد. اندازه اثر با استفاده از مربع eta (η<sup>2</sup>) محاسبه شد. معنی‌داری در سطح  $p < 0.05$  با نرم افزار SPSS نسخه ۲۸ انجام شد.

#### • یافته‌ها

میزان بقاء روزانه در طول مطالعه ارزیابی شد. میزان بقاء ۴۸ ساعت بعد از آخرین تزریق آدریامايسین در همه گروه‌ها بجز گروه نانوکورکومین+ADR (۵/۸۷ درصد)، ۱۰۰ درصد بود. داده‌های توصیفی مربوط به وزن بدن موش‌ها در ابتداء و انتهای پژوهش گروه‌های مختلف در جدول ۲ آرائه شده است. با توجه به این جدول ملاحظه می‌شود که میانگین وزن در ابتدای پژوهش تفاوت معنی‌داری میان گروه‌ها ندارد ( $p = 0.975$ ). از طرفی آدریامايسین موجب کاهش وزن بدن در انتهای پژوهش در گروه‌های دریافت کننده ADR نسبت به گروه‌های سالین همتای خود شده است ( $p = 0.0001$ ).

#### تزریق داروی آدریامايسین/سالین و مکمل‌گیری نانوکورکومین

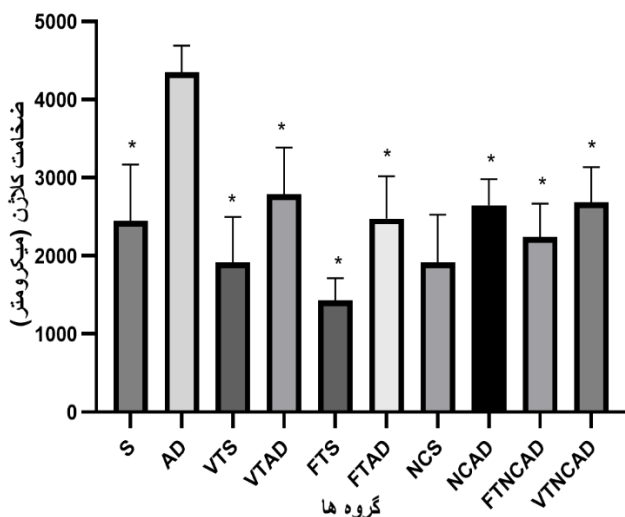
همزمان با دو هفته آخر برنامه تمرين، آدریامايسین هیدروکلراید (ساخت شرکت فایزر استرالیا) روزانه یک میلی‌گرم/کیلوگرم وزن بدن بهصورت زیرصفاقی به گروه‌های دریافت کننده تزریق شد. همچنین بهمنظور یکسان‌سازی شرایط همه آزمودنی‌ها، به گروه‌های دیگر نیز یک واحد انسولینی سالین (سدیم کلراید ۹/۰ درصد) بهازای هر ۱۰۰ گرم وزن بدن شان بهصورت زیرصفاقی تزریق شد (۲۷). نظر به جذب ضعیف، متابولیسم سریع، نیمه عمر بیولوژیکی کوتاه و فراهمی زیستی خوارکی ناچیز کورکومین در مقایسه با نانوکورکومین (۲۰)، لذا در مطالعه حاضر از نانوکورکومین (ساخت شرکت نانوکسیر سینا، ایران)، استفاده شد. از هفته نهم، آزمودنی‌های گروه‌های دریافت کننده نانوکورکومین ۱۴ روز مکمل نانوکورکومین را روزانه با دوز ۱۰۰ میلی‌گرم/کیلوگرم وزن بدن بهوسیله گواژ دریافت کردند (۲۸).

برداشت بافت و اندازه‌گیری بافت‌شناسی فیبروز آئورت چهل و هشت ساعت پس از آخرین تیمار آزمودنی‌های تمام گروه‌های تحقیق در شرایط استراحتی، با کاتامین و زایلزین به نسبت ۵ به ۲ بیهوش شدند، سپس آئورت از ناحیه ریشه جدا و توسط آب دیونیزه شستشو شد و بخشی از آن جهت بررسی‌های بافت‌شناسی بلافضله در مایع فرمالین ۱۰ درصد قرار داده شد. پس از ۴۸ ساعت پاساز بافتی بهصورت زیر انجام شد: برای آبزدایی بهترین ترتیب از درصدهای مختلف بالکل ۱۰۰، ۹۰، ۸۰، ۷۰، ۶۰ (مرحله اول) و ۱۰۰ درصد (مرحله دوم) هر کدام بهمدت ۶۰ دقیقه استفاده شد. بهمنظور شفافسازی بافت آئورت طی دو مرحله ۴۵ دقیقه‌ای در گزیل قرار داده شد. در مرحله Embedding و برش بافتی، بافت آئورت طی دو مرحله ۱ ساعته در پارافین قرار داده شد. سپس با پارافین جدید قالب‌گیری شد و ۵ دقیقه در دستگاه فور قرار گرفت. سپس تا صبح در دمای محیط قرار داده شد. برش بافتی با دستگاه میکروتوم به ضخامت ۵ میکرومتر زده شد. در مرحله حذف پارافین از روی نمونه، نمونه‌ها در آب گرم قرار داده شدند و بعد برای انتقال بر روی لام، چسب اگ آلبومین زده شد. از هر نمونه بافت آئورت، پنج برش بر روی لام قرار داده شد، سپس لامها برای حذف پارافین اضافه ۱ ساعت در دستگاه فور با دمای ۶۰ درجه گذاشته شدند. بعد طی دو مرحله ۲۰ دقیقه‌ای در گزیل قرار داده شدند. در مرحله آبدهی به بافت، لامها ۳\_۵ دقیقه بهترین ترتیب در بالکل ۱۰۰ درصد (مرحله اول)، بالکل ۱۰۰ درصد (مرحله دوم)، بالکل ۹۰، ۸۰، ۷۰ درصد و آب قطره قرار گرفتند. در مرحله رنگ‌آمیزی، لامها تقریباً ۲۰ ثانیه در محلول بوآن قرار داده شدند و یک ساعت در اتوکلاو ۵۶ درجه قرار گرفتند. سپس با

## جدول ۲. مقادیر میانگین و انحراف معیار وزن بدن (بر حسب گرم) موش‌ها در ابتدا و انتهای پژوهش گروه‌های مختلف.

گروه‌ها	میانگین $\pm$ انحراف معیار وزن	میانگین $\pm$ انحراف معیار وزن	ابتدای پژوهش (گرم)	انتهایی پژوهش (گرم)
سالین	۲۶۴/۰۰ $\pm$ ۴۷/۰۸	۳۹۸/۱۴ $\pm$ ۴۸/۲۴	۲۶۴/۰۰ $\pm$ ۴۷/۰۸	۳۹۸/۱۴ $\pm$ ۴۸/۲۴
آدریاماپسین	۲۶۵/۷۱ $\pm$ ۴۲/۲۶	۲۸۰/۴۳ $\pm$ ۴۷/۷۴	۲۶۵/۷۱ $\pm$ ۴۲/۲۶	۲۸۰/۴۳ $\pm$ ۴۷/۷۴
نانوکورکومین+سالین	۲۶۷/۱۴ $\pm$ ۴۶/۰۸	۳۹۰/۴۳ $\pm$ ۷۱/۰۹	۲۶۷/۱۴ $\pm$ ۴۶/۰۸	۳۹۰/۴۳ $\pm$ ۷۱/۰۹
نانوکورکومین+آدریاماپسین	۲۶۴/۵۷ $\pm$ ۵۲/۳۲	۲۶۰/۸۶ $\pm$ ۲۹/۳۷	۲۶۴/۵۷ $\pm$ ۵۲/۳۲	۲۶۰/۸۶ $\pm$ ۲۹/۳۷
تمرین هوایی اجباری+سالین	۲۷۲/۸ $\pm$ ۲۷/۷	۳۶۳/۸۶ $\pm$ ۳۰/۸۳	۲۷۲/۸ $\pm$ ۲۷/۷	۳۶۳/۸۶ $\pm$ ۳۰/۸۳
تمرین هوایی اجباری+آدریاماپسین	۲۶۷/۲ $\pm$ ۲۷/۶	۲۶۵/۲۹ $\pm$ ۳۳/۶۵	۲۶۷/۲ $\pm$ ۲۷/۶	۲۶۵/۲۹ $\pm$ ۳۳/۶۵
تمرین اختیاری+سالین	۲۷۸/۳۳ $\pm$ ۲۱/۱۳	۳۷۲/۴۰ $\pm$ ۱۹/۴۰	۲۷۸/۳۳ $\pm$ ۲۱/۱۳	۳۷۲/۴۰ $\pm$ ۱۹/۴۰
تمرین اختیاری+آدریاماپسین	۲۸۰/۵۷ $\pm$ ۲۴/۶۴	۳۰/۴/۷۱ $\pm$ ۲۳/۳۲	۲۸۰/۵۷ $\pm$ ۲۴/۶۴	۳۰/۴/۷۱ $\pm$ ۲۳/۳۲
تمرین هوایی اجباری+نانوکورکومین+آدریاماپسین	۲۸۱/۵ $\pm$ ۱۶/۸۹	۲۹۴/۷۵ $\pm$ ۲۵/۹۳	۲۸۱/۵ $\pm$ ۱۶/۸۹	۲۹۴/۷۵ $\pm$ ۲۵/۹۳
تمرین اختیاری+نانوکورکومین+آدریاماپسین	۲۷۵/۸۳ $\pm$ ۱۶/۸۶	۲۹۰/۶۷ $\pm$ ۱۵/۸۹	۲۷۵/۸۳ $\pm$ ۱۶/۸۶	۲۹۰/۶۷ $\pm$ ۱۵/۸۹

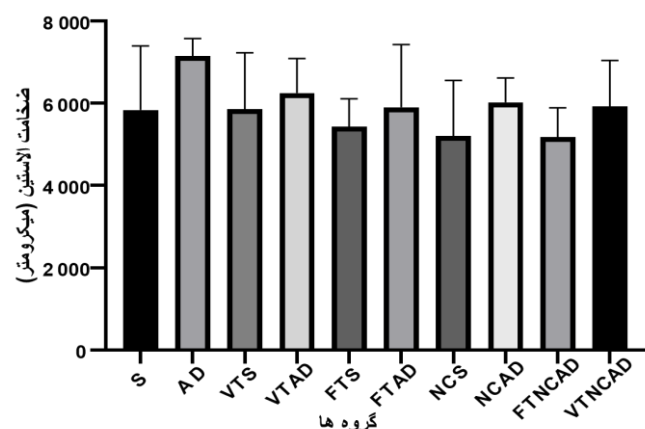
بر کلازن ( $p=0.002$ )، اندازه اثر ( $p=0.275$ ) بود. آزمون تعقیبی مشخص کرد که ضخامت منطقه کلازن بافت آثورت گروه‌های S FTS (p<0.001)، VTAD (p<0.001)، VTS (p<0.001)، NCAD (p<0.001)، FTAD (p<0.001)، NCS (p<0.001)، فاکتور تمرين بر الاستين (p=0.071)، فاکتور مکمل بر الاستين (p=0.079)، فاکتور مکمل بر الاستين (p=0.048) و اثر متقابل تمرين\*مکمل بر الاستين (p=0.020) بود (شکل ۲).



شکل ۲. ضخامت منطقه کلازن بافت آثورت گروه‌های مختلف S: سالین، AD: آدریاماپسین، VTS: تمرين اختیاری + سالین، VTAD: تمرين اختیاری + آدریاماپسین، FTS: تمرين اجباری + سالین، FTAD: تمرين اجباری + آدریاماپسین، NCS: نانوکورکومین + سالین، NCAD: نانوکورکومین + آدریاماپسین، FTNCAD: تمرين اجباری + نانوکورکومین + آدریاماپسین و VTNCAD: تمرين اختیاری + نانوکورکومین + آدریاماپسین. \* اختلاف معنی دار با گروه AD.

همچنین آدریاماپسین بر نسبت کلازن/الاستین ( $p=0.01$ )، اندازه اثر ( $p=0.480$ )، فاکتور تمرين بر نسبت کلازن/الاستین ( $p=0.01$ )، اندازه اثر ( $p=0.349$ ) و اثر متقابل تمرين\*مکمل بر نسبت کلازن/الاستین ( $p=0.001$ )، اندازه اثر ( $p=0.285$ ) معنی دارد. آزمون تعقیبی توکی مشخص کرد نسبت ضخامت منطقه

همانطور که در شکل ۱ مشخص است تفاوت معنی‌داری در ضخامت منطقه الاستین بافت آثورت بین گروه‌های مختلف وجود نداشت ( $p=0.197$ ). نتایج به دست آمده بیانگر عدم وجود تأثیر معنی‌دار آدریاماپسین بر الاستین ( $p=0.087$ )، اندازه اثر ( $p=0.191$ )، فاکتور تمرين بر الاستین ( $p=0.071$ )، اندازه اثر ( $p=0.079$ )، فاکتور مکمل بر الاستين ( $p=0.042$ ) و اثر متقابل تمرين\*مکمل بر الاستين ( $p=0.037$ ) بود.

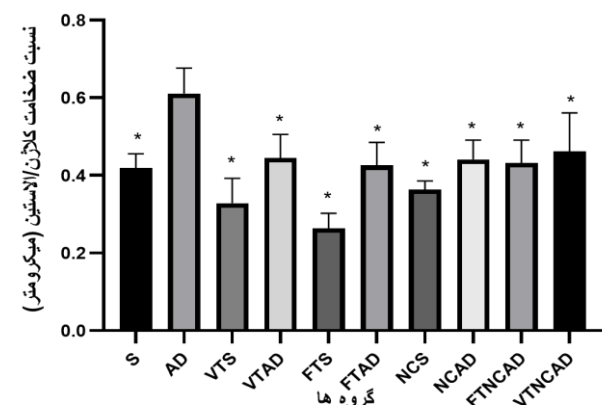


شکل ۱. ضخامت منطقه الاستین بافت آثورت گروه‌های مختلف. S: سالین، AD: آدریاماپسین، VTS: تمرين اختیاری + سالین، VTAD: تمرين اختیاری + آدریاماپسین، FTS: تمرين اجباری + سالین، FTAD: تمرين اجباری + آدریاماپسین، NCS: نانوکورکومین + سالین، NCAD: نانوکورکومین + آدریاماپسین، FTNCAD: تمرين اجباری + نانوکورکومین + آدریاماپسین و VTNCAD: تمرين اختیاری + نانوکورکومین + آدریاماپسین.

از طرفی نتایج به دست آمده بیانگر وجود تأثیر معنی‌دار آدریاماپسین بر کلازن ( $p=0.01$ )، اندازه اثر ( $p=0.438$ )، فاکتور تمرين بر کلازن ( $p=0.01$ )، اندازه اثر ( $p=0.376$ )، فاکتور مکمل بر کلازن ( $p=0.014$ )، اندازه اثر ( $p=0.141$ ) و اثر متقابل تمرين\*مکمل

رویکردهای غیردارویی از قبیل تمرینات اجباری و داوطلبانه و نانوکورکومین بوده است، به گونه‌ای که تفاوت معنی‌داری در ضخامت منطقه الاستین بافت آئورت بین گروه‌های مختلف وجود نداشت. بعلاوه، بین تغییرات ضخامت کلاژن و نسبت کلاژن/الاستین بافت آئورت متعاقب تمرین هوازی اجباری و داوطلبانه تفاوت معنی‌داری وجود نداشت. این یافته پژوهش حاضر که القای آدریامايسین موجب فیبروز آئورت شد، همسو با یافته‌های حاصل از مطالعات قبلی در خصوص تأثیر القای آدریامايسین بود. در همین راستا، Zhang و همکاران (۲۰۱۲) بیان کردند آنتراسایکلین‌ها برای ایجاد تغییرات منفی سرخرگی مطرح شده‌اند، این تغییرات تاحدی پس از قطع درمان معکوس می‌شوند (۲۹). مکانیزم‌های آئورتوپاتی ناشی از آدریامايسین در جزئیات مشخص نیست. مکانیزم‌های پیشنهادی واسکولوپاتی ناشی از آدریامايسین شامل اختلال عملکرد اندوتیال (۴)، سرکوب اندوتیلین-۱ در سلول‌های اندوتیال (۳۰)، انحطاط ساختارهای اندوتیال، آپوپتوز سلول‌های اندوتیال و عضلات صاف (۴)، افزایش فعالیت پیش‌برنده انعقاد (۳۱)، اختلال عملکرد عضلات صاف و اختلال در تنظیم مقادیر کلسیم آن است (۳۰). مسمومیت اندوتیال ناشی از آنتراسایکلین‌ها به‌نظر می‌رسد تحت تأثیر چندین مکانیزم مانند تجمع دارو در هسته، میتوکندری، ترمیم DNA، مکانیزم‌های سیگنالینگ ناشی از استرس، بهم ریختگی شبکیه سارکوپلاسمی، استرس نیتراتوزائیو، فعالیت در انتقال دهنده مواد، متابولیسم دارو، مهار TopI و II باشد (۷). ADR می‌تواند به سرعت رادیکال‌های آزاد را از طریق eNOS تولید کند که منجر به کاهش همراه با دسترسی زیستی NO شود (۱۲).

کلاژن/الاستین بافت آئورت گروه‌های S ( $p<0.001$ ), VTS ( $p<0.001$ ) FTS ( $p=0.003$ ) VTAD ( $p<0.001$ ) NCAD ( $p<0.001$ ) NCS ( $p=0.001$ ) FTNCAD ( $p=0.015$ ) و VTNCAD ( $p=0.001$ ) به‌طور معنی‌داری کمتر از گروه AD بود (شکل ۳ و ۴). همچنین بین تغییرات ضخامت منطقه کلاژن و نسبت ضخامت منطقه کلاژن/الاستین بافت آئورت ناشی از القای ADR بین گروه‌های ADR، VTAD، NCAD، VTNCAD و FTNCAD تفاوت معنی‌داری وجود نداشت ( $p\geq0.05$ ) (شکل ۲، ۳ و ۴).



شکل ۳. نسبت ضخامت منطقه کلاژن/الاستین بافت آئورت گروه‌های مختلف

S: سالین، AD: آدریامايسین، VTS: تمرین اختیاری + سالین، VTAD: تمرین اختیاری + آدریامايسین، FTS: تمرین اجباری + سالین، FTAD: تمرین اجباری + نانوکورکومین + سالین، NCAD: نانوکورکومین + آدریامايسین، NCS: نانوکورکومین + آدریامايسین + آدریامايسین، FTNCAD: تمرین اجباری + نانوکورکومین + آدریامايسین و VTNCAD: تمرین اختیاری + نانوکورکومین + آدریامايسین. \* اختلاف معنی‌دار با گروه AD.

## • بحث

نتایج پژوهش حاضر حاکی از وقوع فیبروز آئورت متعاقب القای آدریامايسین و کاهش فیبروز آئورت متعاقب اجرای



شکل ۴. سرخرگ آئورت با رنگ آمیزی تریکروم مالوری در گروه‌های مختلف

S: سالین، AD: آدریامايسین، FTS: تمرین اجباری + سالین، VTAD: تمرین اختیاری + آدریامايسین، VTS: تمرین اجباری + آدریامايسین، VTNCAD: تمرین اختیاری + نانوکورکومین + آدریامايسین و FTNCAD: تمرین اجباری + نانوکورکومین + آدریامايسین + آدریامايسین.

تنظیم مثبت می‌کند که باعث برداشتن رادیکال‌های آزاد می‌شود (۱۲، ۷). از طرفی بین تغییرات فیبروز آئورت ناشی از القای ADR پس از تمرین هوایی اجباری و داوطلبانه تفاوت معنی‌داری وجود نداشت. یکی از دلایل احتمالی این امر ممکن است شدت تمرین ورزشی باشد. شدت تمرین بعنوان یکی از عوامل مهمی است که می‌تواند بر یافته‌های مطالعات مختلف اثرگذار باشد، به‌گونه‌ای که در مطالعاتی که از تمرینات با شدت زیاد استفاده نموده بودند، هم‌افزایی شوک دستگاه و استرس ناشی از القای زیرصفاقی، نتایج متنقضی را به دنبال داشت. از این‌رو، در مقایسه با برخی از مطالعات دیگر، شدت تمرین در مطالعه حاضر برای جلوگیری از شوک مکرر به حیوانات، با رعایت اصل اضافه بار، شدت متوسط در نظر گرفته شد.

موضوع دیگری که برای نخستین بار در مطالعه حاضر بررسی شد، ارزیابی اثرات مجزا و ترکیبی نانوکورکومین و تمرینات هوایی بر فیبروز آئورت بود. نتایج مطالعه حاضر نشان داد که مکمل‌گیری نانوکورکومین با و بدون تمرینات هوایی اجباری و داوطلبانه، از فیبروز آئورت ناشی از القای آدریامایسین جلوگیری می‌کند که همسو با یافته‌های برخی محققان می‌باشد (۳۳، ۱۹). برای نمونه، مطالعه‌ی محمد و همکاران (۲۰۰۹) نشان داد که عصاره زردچوبه (کورکومین) به طور مستقیم از سمیت کلی ADR محافظت می‌کند. اثر محافظتی عصاره زردچوبه با خواص آنتی‌اکسیدانی و زدودن رادیکال آزاد آن همراه است (۳۳). اثرات مفید کورکومین در سیستم عروقی به‌وسیله افزایش سطح همواکسیژناز ۱، NOS و سیرتوین‌ها Sugawara (sirtuins) ایجاد می‌شود (۳۴). در مطالعه دیگری، Gibson و همکاران (۲۰۱۲) نشان دادند که برنامه تمرین استقامتی همراه با مصرف کورکومین موجب اثرات مطلوبتری بر همودینامیک سرخرگ مرکزی زنان یائسه سالم نسبت به هر کدام از تمرین استقامتی و یا مصرف کورکومین به‌نهایی شد (۱۹). همچنین علی‌رغم انتظار، نشان داده شد که اثربخشی رویکردهای غیردارویی ترکیبی در مهار فیبروز آئورت ناشی از القای ADR بهتر از اثرات مجزایی هر یک از این رویکردها بود. احتمالاً این موضوع می‌تواند منعکس کننده مسیرهای مشترک اثربخشی ورزش و نانوکورکومین در مهار عوارض جانبی آدریامایسین در آئورت باشد که موجب هم‌افزایی اثر نشد.

بنابر نتایج مطالعه حاضر، همه رویکردهای به‌کار رفته در مطالعه حاضر می‌توانند تاحدی از افزایش فیبروز آئورت ناشی از القای آدریامایسین پیشگیری کنند. با در نظر گرفتن اثرات مثبت تمرین هوایی بر عروق از جمله اثرات ضدآکسایشی آن و همچنین تأثیر مفید کورکومین بر سیستم قلبی-عروقی این احتمال وجود دارد که بهبود مورد مشاهده در دیواره سرخرگ آدریامایسین در آئورت باشد.

طبق نتایج مطالعه حاضر تفاوت معنی‌داری در ضخامت منطقه الاستین بافت آئورت بین گروه‌های مختلف وجود نداشت. در مطالعه‌ای Uhm و همکاران (۲۰۱۴) نشان دادند که آدریامایسین تمایل به کاهش کیفیت فیبر الاستین دارد. نتیجه کاهش مقدار الاستین، کاهش استحکام آئورت و افزایش سختی آئورت است و این به معنی پروسه‌های پاتولوژیک و تغییر وضع ساختاری آئورت می‌باشد (۳۲). به‌دلیل اینکه در پژوهش حاضر ضخامت منطقه الاستین بررسی شد و در مطالعه Uhm و همکاران کیفیت فیبر الاستین مورد توجه قرار گرفته است نمی‌توان با قاطعیت نظر داد که عدم تغییر ضخامت منطقه الاستین در مطالعه حاضر به منزله عدم تغییر کیفیت فیبر الاستین باشد.

یافته دیگر مطالعه حاضر نشان داد تمرین هوایی اجباری و داوطلبانه قبل و طی تزریق آدریامایسین موجب کاهش فیبروز آئورت شد. این یافته همسو با یافته‌های حاصل از مطالعات قبلی در خصوص تأثیر مهاری و تضعیف کننده تمرین بر اثرات جانبی آدریامایسین بود. در همین راستا، در مطالعه‌ای Gibson و همکاران (۲۰۱۳) اختلال عروقی ناشی از ADR و تضعیف آن به‌وسیله ورزش پیش‌درمان را بررسی کردند. نتایج آنها نشان داد که ورزش مزمن اختلال عملکرد عضله صاف عروق مرتبط با درمان ADR را کاهش می‌دهد (۱۲). ورزش علاوه بر بهبود عملکرد اندولیال (۱۱، ۱۲)، برای بهبود عملکرد عضلات صاف عروقی نیز مستند شده است. این سازگاری‌ها که در بهبود اداره  $\text{Ca}^{2+}$  شرکت می‌کند، ممکن است به بهبود عملکرد گیرنده ریانودین شبکه سارکوپلاسمی در رهاسازی و تجزیه  $\text{Ca}^{2+}$  نسبت داده شود. همچنین تمرین ورزشی اداره  $\text{Ca}^{2+}$  را با افزایش کانال  $\text{Ca}^{2+}$  نوع L و تراکم کانال  $\text{K}^+$  فعال شده با  $\text{Ca}^{2+}$  بهبود می‌بخشد؛ در نتیجه سهمشان را در حفظ غلظت یون و پتانسیل غشاء در سلول‌های عضلانی صاف افزایش داده و تون عروقی را بهبود می‌بخشد. این سازگاری‌ها به ورزش ممکن است منجر به افزایش حساسیت به عوامل وازواکتیو مستقل از اندولیوم و بهبود کلی عروقی دیده شده در افراد تمرین کرده تحت درمان ADR شود (۱۲). افزایش آنزیم‌های آنتی‌اکسیدانی همراه با ورزش استقامتی مزمن ممکن است نقش مهمی در حفظ عملکرد انقباضی و استراحتی عروق با درمان ADR داشته باشد. تولید ROS دسترسي زیستی نیتریک اکسیدستاز مشتق از اندولیوم (eNOS) را کاهش می‌دهد، که منجر به کاهش استراحت وابسته به اندولیوم می‌شود. از سوی دیگر افزایش تنش برشی در ارتباط با ورزش، یک محرك قدرتمند تولید NO و بازسازی عروق است. علاوه بر این، تنش برشی آنزیم‌های آنتی‌اکسیدان سوپراکسید دیسموتاز و گلوتاتیون پراکسیداز را

این مقاله حاصل بخشی از نتایج رساله دکترا در دانشگاه مازندران بوده که لازم است تا مراتب قدردانی خود را از همکاران محترم که در انجام این پژوهش مساعدت نمودند اعلام داریم.

آئورت در مطالعه حاضر ناشی از این تغییرات باشد. هرچند که مطالعات بعدی برای یافتن سایر مسیرهایی که تمرین هوازی و نانوکورکومین از طریق آن عمل می‌کنند مورد نیاز است.

سپاسگزاری

## ● References

- Ghignatti PVdC, Nogueira LJ, Lehnhen AM, Leguisamo NM. Cardioprotective effects of exercise training on doxorubicin-induced cardiomyopathy: a systematic review with meta-analysis of preclinical studies. *Scientific Reports*. 2021;11(1):6330.
- Dulf PL, Mocan M, Coadă CA, Dulf DV, Moldovan R, Baldea I, et al. Doxorubicin-induced acute cardiotoxicity is associated with increased oxidative stress, autophagy, and inflammation in a murine model. *Naunyn-Schmiedeberg's Archives of Pharmacology*. 2023;1-11.
- Mustafa S, Ijaz MU, ul Ain Q, Afsar T, Almajwal A, Shafique H, et al. Isorhamnetin: a flavonoid, attenuated doxorubicin-induced testicular injury via regulation of steroidogenic enzymes and apoptotic signaling gene expression in male rats. *Toxicology Research*. 2022;11(3):475-85.
- Murata T, Yamawaki H, Yoshimoto R, Hori M, Sato K, Ozaki H, et al. Chronic effect of doxorubicin on vascular endothelium assessed by organ culture study. *Life sciences*. 2001;69(22):2685-95.
- Zhang Q, Wu L. In vitro and in vivo cardioprotective effects of curcumin against doxorubicin-induced cardiotoxicity: a systematic review. *Journal of Oncology*. 2022;2022.
- Rawat PS, Jaiswal A, Khurana A, Bhatti JS, Navik U. Doxorubicin-induced cardiotoxicity: An update on the molecular mechanism and novel therapeutic strategies for effective management. *Biomedicine & Pharmacotherapy*. 2021;139:111708.
- Gaytan SL, Lawan A, Chang J, Nurunnabi M, Bajpeyi S, Boyle JB, et al. The beneficial role of exercise in preventing doxorubicin-induced cardiotoxicity. *Frontiers in Physiology*. 2023;14:393.
- Sun J, Zhou J, Sun S, Lin H, Zhang H, Zhong Z, et al. Protective effect of urotensin II receptor antagonist urantide and exercise training on doxorubicin-induced cardiotoxicity. *Scientific Reports*. 2023;13(1):1279.
- Maurer GS, Clayton ZS. Anthracycline chemotherapy, vascular dysfunction and cognitive impairment: burgeoning topics and future directions. *Future Cardiology*. 2022(0).
- Moreo A, Vallerio P, Ricotta R, Stucchi M, Pozzi M, Musca F, et al. Effects of cancer therapy targeting vascular endothelial growth factor receptor on central blood pressure and cardiovascular system. *American Journal of Hypertension*. 2016;29(2):158-62.
- McLaughlin M, Hesketh KL, Horgan SL, Florida-James G, Cocks M, Strauss JA, et al. Ex Vivo treatment of coronary artery endothelial cells with serum post-exercise training offers limited protection against in vitro exposure to FEC-T chemotherapy. *Frontiers in Physiology*. 2023;14:62.
- Gibson NM, Greufe SE, Hydock DS, Hayward R. Doxorubicin-induced vascular dysfunction and its attenuation by exercise preconditioning. *Journal of cardiovascular pharmacology*. 2013;62(4):355-60.
- Rahimi O, Melo AC, Westwood B, Grier RD, Tallant EA, Gallagher PE. Angiotensin-(1-7) reduces doxorubicin-induced aortic arch dysfunction in male and female juvenile Sprague Dawley rats through pleiotropic mechanisms. *Peptides*. 2022;170784.
- Horta PP, Carvalho JJ, Mandarim-de-Lacerda C. Exercise training attenuates blood pressure elevation and adverse remodeling in the aorta of spontaneously hypertensive rats. *Life Sciences*. 2005;77:3336-43.
- Souza RRd, Santos SMd, Maifirino LBM, Gama EF, Caperuto EC, Maldonado DC. Resistance training attenuates the effects of aging in the aorta of Wistar rats. *Motriz: Revista de Educação Física*. 2015;21:421-7.
- Pera ML, Speretta GF. Effects of Exercise on Vascular Toxicity Associated with Breast Cancer Treatment: A Narrative Review. *Current Vascular Pharmacology*. 2022.
- Ahmadian M, Dabidi Roshan V. Modulatory effect of aerobic exercise training on doxorubicin-induced cardiotoxicity in rats with different ages. *Cardiovascular Toxicology*. 2018;18(1):33-42.
- Chicco AJ, Schneider CM, Hayward R. Voluntary exercise protects against acute doxorubicin cardiotoxicity in the isolated perfused rat heart. *American Journal of Physiology-Regulatory, Integrative and Comparative Physiology*. 2005;289(2):R424-R31.
- Sugawara J, Akazawa N, Miyaki A, Choi Y, Tanabe Y, Imai T, et al. Effect of endurance exercise training and curcumin intake on central arterial hemodynamics in postmenopausal women: pilot study. *American journal of hypertension*. 2012;25(6):651-6.
- He Y, Yue Y, Zheng X, Zhang K, Chen S, Du Z. Curcumin, inflammation, and chronic diseases: how are they linked? *Molecules*. 2015;20(5):9183-213.
- Moutabian H, Ghahramani-Asl R, Mortezazadeh T, Laripour R, Narmani A, Zamani H, et al. The cardioprotective effects of nano-curcumin against doxorubicin-induced cardiotoxicity: A systematic review. *Biofactors*. 2022;48(3):597-610.
- Chang Y-M, Chang H-H, Kuo W-W, Lin H-J, Yeh Y-L, Padma Viswanadha V, et al. Anti-apoptotic and pro-survival effect of alpinate oxyphyllae fructus (AOF) in a d-galactose-induced aging heart. *International journal of molecular sciences*. 2016;17(4):466.
- Kim SY, Lee J. Exercise Training suppresses vascular fibrosis in aging obesity induced rats. *Journal of exercise nutrition & biochemistry*. 2014;18(2):175.
- Ashrafi J, Dabidi Roshan V, Mahjoub S. Cardioprotective effects of aerobic regular exercise against doxorubicin-

- induced oxidative stress in rat. *Afr J Pharm Pharmacol.* 2012;6(31):2380-8.
25. Shirinbayan V, Dabidi Roshan V, Mahjoub S. The therapeutic effect of endurance training on adriamycin-induced cardiac stress in rats. *Iranian Journal of Health and Physical Activity.* 2013;4(2):8-17.
26. Marques-Aleixo I, Santos-Alves E, Mariani D, Rizo-Roca D, Padrão AI, Rocha-Rodrigues S, et al. Physical exercise prior and during treatment reduces sub-chronic doxorubicin-induced mitochondrial toxicity and oxidative stress. *Mitochondrion.* 2015;20:22-33.
27. Hydock DS, Lien C-Y, Jensen BT, Parry TL, Schneider CM, Hayward R. Rehabilitative exercise in a rat model of doxorubicin cardiotoxicity. *Experimental biology and medicine.* 2012;237(12):1483-92.
28. Reddy PS, Begum N, Mutha S, Bakshi V. Beneficial effect of Curcumin in Letrozole induced polycystic ovary syndrome. *Asian Pacific Journal of Reproduction.* 2016;5(2):116-22.
29. Zhang S, Liu X, Bawa-Khalfe T, Lu L-S, Lyu YL, Liu LF, et al. Identification of the molecular basis of doxorubicin-induced cardiotoxicity. *Nature medicine.* 2012;18(11):1639-42.
30. Matsuura C, Brunini TM, Carvalho LC, Resende AC, Carvalho JJ, de Castro JPW, et al. Exercise training in doxorubicin-induced heart failure: effects on the L-arginine-NO pathway and vascular reactivity. *Journal of the American Society of Hypertension.* 2010;4(1):7-13.
31. Ben Aharon I, Bar Joseph H, Tzabari M, Shenkman B, Farzam N, Levi M, et al. Doxorubicin-induced vascular toxicity—targeting potential pathways may reduce procoagulant activity. *PLoS One.* 2013;8(9):e75157.
32. Uhm J-S, Chung W-B, Yoon J-S, Oh Y-S, Youn H-J. Effects of adriamycin and candesartan on the collagen and elastin of the aorta in rats. *Clinical Hypertension.* 2014;20(1):1-8.
33. Mohamad RH, El-Bastawesy AM, Zekry ZK, Al-Mehdar HA, Al-Said MGAM, Aly SS, et al. The role of Curcuma longa against doxorubicin (adriamycin)-induced toxicity in rats. *Journal of medicinal food.* 2009;12(2):394-402.
34. Grabowska W, Kucharewicz K, Wnuk M, Lewinska A, Suszek M, Przybylska D, et al. Curcumin induces senescence of primary human cells building the vasculature in a DNA damage and ATM-independent manner. *Age.* 2015;37:1-17.

## Preventive Effects of Forced and Voluntary Aerobic Exercises and Nanocurcumin Supplementation on Aortic Fibrosis Following Chronic Induction of Adriamycin in Aging Rats

Sharifi F<sup>1</sup>, Dabidi Roshan V<sup>2</sup>

1- PhD, Exercise Physiology, Department of Sport Physiology, Faculty of Sport Sciences, University of Mazandaran, Babolsar, Iran.

2-\* Corresponding Author: Professor, Department of Sports physiology, Faculty of Physical Education and Sports Sciences, University of Mazandaran, Babolsar, Iran and Athletic Performance and Health Research Center, University of Mazandaran, Babolsar, Iran. Email: v.dabidi@umz.ac.ir

Received 11 Jul, 2023

Accepted 21 Aug, 2023

**Background and Objectives:** Despite the effectiveness of Adriamycin in the treatment of various types of cancer, its cardiovascular complications have become challenging, especially in the elderly. The aim of this study was to investigate the preventive effects of forced and voluntary aerobic exercise and nanocurcumin supplementation on aortic fibrosis following chronic induction of adriamycin in aging rats.

**Materials & Methods:** Seventy 12-week-old male Wistar rats were randomly divided into 10 experimental and control groups. Aging was induced by digalactose (100 mg/kg). Forced aerobic training groups ran five sessions weekly for six weeks on a treadmill (25-54 minutes/day, slope 0%, speed 15-20 meters/minute). Voluntary exercise groups had access to a running wheel for six weeks. In the last two weeks, 15 days of subcutaneous injection (1 mg/kg/day) of adriamycin/saline and 14 days of nanocurcumin induction (100 mg/kg/day) by gavage were performed. Forty-eight hours after the last session, the rats were sacrificed and the ascending aorta was removed. Mallory's trichrome staining was performed for histological analysis. The thickness of the collagen and elastin area was measured.

**Results:** There was no significant difference in elastin thickness of aortic tissue between different groups ( $p=0.197$ ). Collagen thickness significantly due to voluntary-exercise+Adriamycin ( $p=0.003$ ), forced-exercise+Adriamycin ( $p<0.001$ ), nanocurcumin+Adriamycin ( $p<0.001$ ), voluntary-exercise+nano-curcumin+Adriamycin ( $p<0.001$ ), and forced-exercise+nano-curcumin+Adriamycin ( $p<0.001$ ) was significantly lower than the Adriamycin group. Also, collagen/elastin thickness ratio due to voluntary-exercise+Adriamycin ( $p=0.003$ ), forced-exercise+Adriamycin ( $p=0.001$ ), nanocurcumin+Adriamycin ( $p=0.002$ ), voluntary-exercise+nano-curcumin+Adriamycin ( $p=0.015$ ), and forced-exercise+nano-curcumin+Adriamycin ( $p<0.001$ ) was less than Adriamycin group.

**Conclusion:** All the approaches used in the present study may be valuable treatments to neutralize the increase in aortic fibrosis caused by Adriamycin, which is partly due to the positive effects of aerobic exercise and also the beneficial effect of nanocurcumin on the cardiovascular system.

**Keywords:** Aerobic exercise, Adriamycin, Nanocurcumin, Elastin and collagen area, Aorta